

# Nb<sub>2</sub>O<sub>5</sub>-MnO-SiO<sub>2</sub>渣中Nb<sub>2</sub>O<sub>5</sub> 和MnO活度的研究

张圣弼 魏寿昆 王瑞茵 李立曼<sup>†</sup>

(北京科技大学)

**摘要** 本文利用含NbFe液与Nb<sub>2</sub>O<sub>5</sub>-MnO-SiO<sub>2</sub>渣之间平衡,在1828K温度下应用固体电解质浓差电池方法测定了Fe液中氧的活度,从而计算出渣中Nb<sub>2</sub>O<sub>5</sub>及MnO的活度,并绘制了Nb<sub>2</sub>O<sub>5</sub>-MnO-SiO<sub>2</sub>三元系的等a<sub>Nb<sub>2</sub>O<sub>5</sub></sub>和等a<sub>MnO</sub>图。

**关键词** 活度, Nb<sub>2</sub>O<sub>5</sub>-MnO-SiO<sub>2</sub>, 渣

本文是Nb在Fe液及钢渣中热力学行为基础理论研究系列工作<sup>[1,2]</sup>的继续。目的是测定Nb<sub>2</sub>O<sub>5</sub>和MnO在含Nb渣中的活度。为包头含Nb渣中Nb<sub>2</sub>O<sub>5</sub>和MnO的分离及综合回收的工艺研究提供热力学数据。本文应用固体电解质浓差电池方法来测定Fe液中氧的活度,从而计算渣中组元的活度。

我们曾试过Goto等<sup>[3]</sup>提出的直接测渣方法,但是没有得到稳定电动势值,因此本文仍采用双坩埚方法测定Fe液中氧的活度来计算渣中Nb<sub>2</sub>O<sub>5</sub>及MnO的活度。

## 1 实验

实验设备见文献[1]。本实验渣中MnO含量较高,为了避免渣对氧化锆探头的浸蚀以及解决取渣样的困难,我们采用大(45×50mm)和小(20×60mm)两个氧化锆坩埚。底部有直径为2—3mm的小孔与大坩埚相通。为迅速达到平衡,在大坩埚金属液上也放少量渣。使渣都集中在坩埚边上,中央仍有宽约10mm以上的金属液亮面,插入氧化锆探头。渣样放在小坩埚内Fe液面上,渣层厚度约5mm以上。

本实验用石墨作屏蔽材料,套在炉管内壁。回路电极选用Mo+ZrO<sub>2</sub>制成的金属陶瓷,金属液中没有发现Mo。

按SiO<sub>2</sub>-MnO相图选择试样成分,在液相区内选取SiO<sub>2</sub>/MnO=30/70, 45/65, 65/35。然后再配加不同量Nb<sub>2</sub>O<sub>5</sub>。渣料SiO<sub>2</sub>, Nb<sub>2</sub>O<sub>5</sub>, MnCO<sub>3</sub>均为化学纯试剂。每个渣样均经预熔,即把配好的渣样放入内衬为钼片的石墨坩埚内,再盖以钼片和石墨块,然后放在感

<sup>†</sup> 本文是王瑞茵和李立曼在北京钢铁学院1982年硕士论文的一部分。

1988年10月17日收到初稿,1989年6月5日收到修改稿。

本文通讯联系人:张圣弼,教授,北京(100083)北京科技大学冶金物化教研室

应炉内快速升温熔化，再倒入钼片制的盘中冷却。预熔后的渣样再经破碎混匀作为实验渣样。

每次实验用高纯 Fe 140g，配入纯 Nb 2%，放入大坩埚中，置于钼丝炉内 在净化后的氩气下熔化。熔化后部分 Fe 液自动地压入小坩埚内。再在大小坩埚中分别加入渣样 10g 左右。恒温约 40min 后，放入回路极金属陶瓷，每隔 10min 用氧化锆探头测一次电势，直到电势值稳定不变，即已达到平衡，一般恒温 40min 即可，个别渣样要延续到 1—1.5h。每次试验重复测量电势 4—5 次，然后用纯铁棒沾取渣样 2—5 g 做 X 射线萤光分析及物相分析，用石英管抽取 Fe 样做化学分析。实验过程其它条件均同文献[1]。

## 2 实验数据处理及结果

对淬冷渣 X 射线衍射分析结果证明，在本实验条件下，Nb 在渣中主要以五价即  $\text{Nb}_2\text{O}_5$  形式存在。这与渣中含有大量  $\text{MnO}$  ( $>40\%$ ) 有关。故以下计算均按  $\text{Nb}_2\text{O}_5$

计算所用的自由能数据见表 1。

表 1 热力学数据  
Table 1 Thermodynamic data cited

Reaction	$\Delta G^\circ, \text{J}$	Range, °C	Ref.No.
$\text{O}_2=2[\text{O}]$	-274 050+15.56T	1400—1700	4
$\text{Nb}_{(s)}=[\text{Nb}]$	-134 260+33.05T	1550—1600	1
$2\text{Nb}_{(s)}+\frac{5}{2}\text{O}_2=\text{Nb}_2\text{O}_{5(1)}$	-1 783 970+361.29T	1512—2000	5, 6
$\text{Mo}_{(s)}+\text{O}_2=\text{MoO}_{2(s)}$	-490 700+118.32T	1400—1700	4
$\text{Mn}_{(s)}+\frac{1}{2}\text{O}_2=\text{MnO}_{(s)}$	-388 860+76.32T	25—1244	6, 7
$\text{Mn}_{(s)}=\text{Mn}_{(1)}$	-2 900—1.90T	1244	6, 8
$\text{Mn}_{(1)}=[\text{Mn}]$	-976—9.12T	1400—1700	9

由实验测得的电动势值按下式<sup>[10]</sup>计算  $P_{\text{CO}}$ :

$$E = \frac{RT}{F} \ln \frac{P_{\text{CO}}^{1/4} + P_{\text{Mo}}^{1/4}}{P_{\text{e}}^{1/4} + P_{\text{CO}}^{1/4}}$$

式中： $P_{\text{Mo}}$  参比极 Mo-MoO<sub>2</sub> 分解压， $P_{\text{e}}$  氧化锆管电子导电特征氧分压 ( $P_{\text{e}}=3.8409 \times 10^{-17}$ )， $F$  法拉第常数， $R$  气体常数，

$$P_{\text{CO}} = (0.01103 e^{-6.35E} - 0.00007872)^4$$

由式得出 Fe 液中氧活度  $a_{\text{CO}}$ :

$$a_{\text{CO}} = e^{-\Delta G_1^\circ / RT} \cdot P_{\text{CO}}^{1/2} = 3230.525 \times P_{\text{CO}}^{1/2}$$

以及可计算出渣中氧化铌的活度  $a_{\text{Nb}_2\text{O}_5}$ :

$$a_{\text{Nb}_2\text{O}_5} = a_{\text{Nb}}^2 \cdot a_{\text{CO}}^5 \cdot e^{-\Delta G_4^\circ / RT} = 2.1914 \times 10^{10} a_{\text{Nb}}^2 a_{\text{CO}}^5$$

式中  $a_{\text{Nb}} = f_{\text{Nb}} \cdot [\text{Nb}\%]$

$$\lg f_{\text{Nb}} = e_{\text{Nb}}^{\text{O}}[\text{O}\%] + e_{\text{Nb}}^{\text{Si}}[\text{Si}\%]$$

这里忽略  $e_{\text{Nb}}^{\text{O}}[\text{O}\%]$  及  $e_{\text{Nb}}^{\text{Si}}[\text{Si}\%]$  项，因为金属液中 [O] 及 [Si] 很低。取  $e_{\text{Nb}}^{\text{O}} = -0.196$ <sup>[1]</sup>， $e_{\text{Nb}}^{\text{Si}} = 0.269$ <sup>[2]</sup>。

类似方法利用  $\text{Mn}-\text{O}$  反应计算渣中  $\text{MnO}$  活度,

$$a_{\text{MnO}} = a_{(\text{Mn})} \cdot a_{(\text{O})} \cdot e^{-\Delta G^\circ_f / RT} = 41.4785 \times a_{(\text{Mn})} \times a_{(\text{O})}$$

式中金属液中  $\text{Mn}$  活度  $a_{(\text{Mn})} = f_{\text{Mn}} \cdot [\text{Mn}\%]$

$$\lg f_{\text{Mn}} = e_{\text{Mn}}^{\text{Mn}} [\text{Mn}\%] + e_{\text{Mn}}^{\text{Nb}} [\text{Nb}\%]$$

又  $e_{\text{Mn}}^{\text{Mn}} = 0$ , 同样忽略  $e_{\text{Mn}}^{\text{O}} [\text{O}\%]$ ,  $e_{\text{Mn}}^{\text{Nb}}$  可由  $e_{\text{Nb}}^{\text{Mn}}$  算出. 计算结果见图 1a 和 b.

### 3 讨 论

#### 3.1 渣中 $\text{MnO}$ 及 $\text{SiO}_2$ 对 $\text{Nb}_2\text{O}_5$ 活度的影响

图 2a 说明: 当渣中  $N_{\text{SiO}_2}/N_{\text{MnO}}$  比值一定时,  $a_{\text{Nb}_2\text{O}_5}$  随  $N_{\text{Nb}_2\text{O}_5}$  增大而增大, 对(Raoult)定律呈现正偏差. 图 2b 则表明, 当渣中  $N_{\text{MnO}}$  一定, 在  $N_{\text{Nb}_2\text{O}_5} < 0.1-0.15\%$  时,  $a_{\text{Nb}_2\text{O}_5}$  随  $N_{\text{Nb}_2\text{O}_5}$  增加而增加. 但当  $N_{\text{Nb}_2\text{O}_5}$  超过  $0.1-0.15\%$  以后, 继续增加  $N_{\text{Nb}_2\text{O}_5}$ ,  $a_{\text{Nb}_2\text{O}_5}$  反而下降. 由此图还可看出: 在本实验范围内, 当  $N_{\text{Nb}_2\text{O}_5}$  一定时,  $a_{\text{Nb}_2\text{O}_5}$  随  $N_{\text{MnO}}$  增加而降低. 这是由于  $\text{MnO}$  与  $\text{Nb}_2\text{O}_5$  有较强倾向生成复杂氧化物  $\text{MnO}-\text{Nb}_2\text{O}_5$ .

当渣中  $N_{\text{SiO}_2}$  一定时(图 2c),  $a_{\text{Nb}_2\text{O}_5}$  随  $N_{\text{Nb}_2\text{O}_5}$  增加而增加, 对Raoult定律呈正偏差. 该图还可看出: 当  $N_{\text{Nb}_2\text{O}_5}$  一定, 则  $a_{\text{Nb}_2\text{O}_5}$  随  $N_{\text{SiO}_2}$  增加而增加.

#### 3.2 $\text{ZrO}_2$ 的影响

目前还缺乏一种理想的坩埚材料, 既不与  $\text{Fe}$  液反应, 又能抵抗渣液尤其是高  $\text{MnO}$  和高  $\text{Nb}_2\text{O}_5$  渣的侵蚀. 本次实验采用  $\text{ZrO}_2$  坩埚, 平衡时间都在 1h 左右. 实验后发现坩埚受到不同程度侵蚀, 渣中氧化锆含量波动在 11—15% 个别达 22wt-% 或 6.5—15% 个别达 18% (mol).

但是对侵蚀最严重的炉次的  $\text{Fe}$  样进行光谱定性分析证明,  $\text{Fe}$  液中没有  $\text{Zr}$ . 这说明  $\text{Zr}-\text{O}$  反应没有参与体系中化学平衡, 因此并不影响通过  $\text{Fe}$  液中氧活度  $a_0$  来计算渣中  $a_{\text{Nb}_2\text{O}_5}$ .

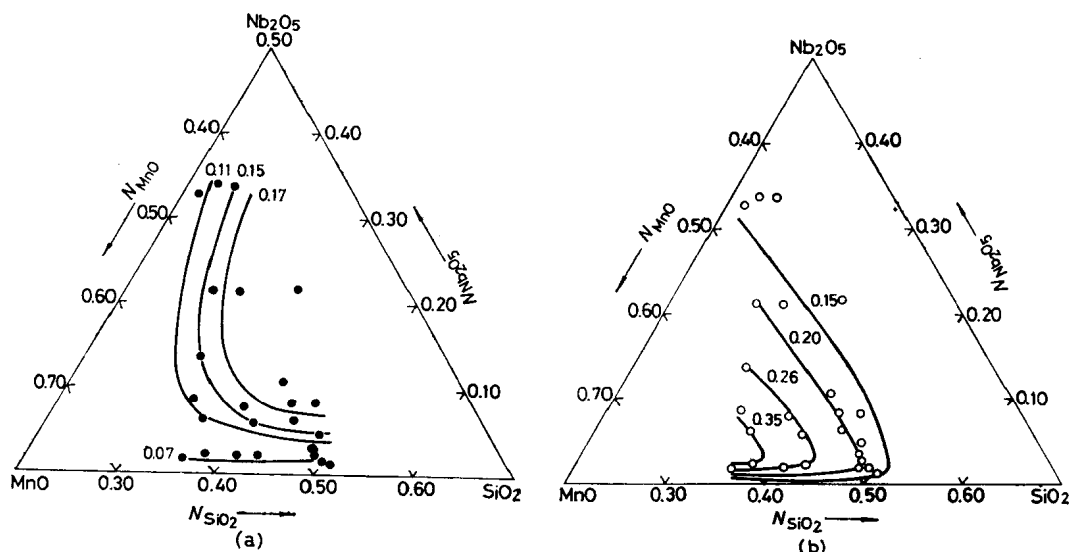


图 1  $\text{Nb}_2\text{O}_5-\text{MnO}-\text{SiO}_2$  渣中等活度图

Fig. 1 Iso-activity diagram in  $\text{Nb}_2\text{O}_5-\text{MnO}-\text{SiO}_2$  slag system  
(a)  $a_{\text{Nb}_2\text{O}_5}$ ; (b)  $a_{\text{MnO}}$

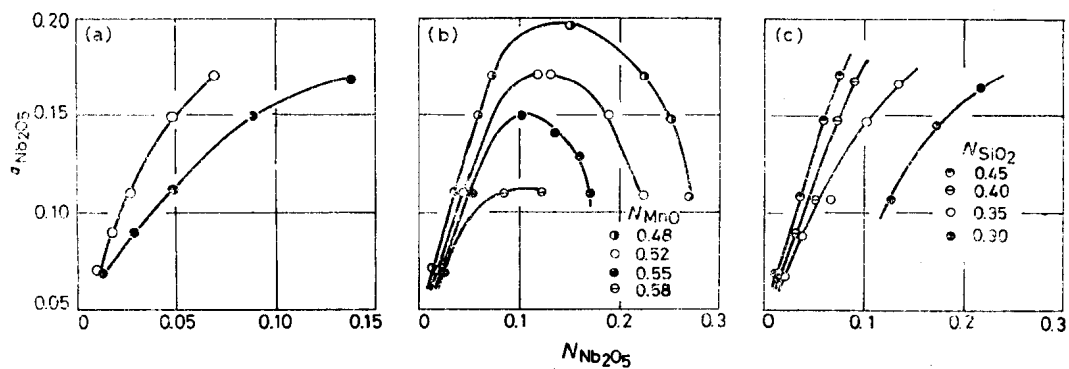


图 2  $a_{Nb_2O_5}$  与  $N_{Nb_2O_5}$  的关系

Fig. 2  $a_{Nb_2O_5}$  vs  $N_{Nb_2O_5}$

(a) at  $N_{SiO_2}/N_{MnO}=\text{const.}$   $\bigcirc \frac{N_{SiO_2}}{N_{MnO}}=1$ ,  $\bullet \frac{N_{SiO_2}}{N_{MnO}}=\frac{2}{3}$ ;

(b) at  $N_{MnO}=\text{const.}$ ; (c) at  $N_{SiO_2}=\text{const.}$

另外对实验数据处理也没有发现渣中  $ZrO_2$  浓度对  $a_{Nb_2O_5}$  有系统的影响，因此本次实验中把  $ZrO_2$  看作中性处理。所得的  $a_{Nb_2O_5}$  及  $a_{MnO}$  认为是  $Nb_2O_5$ - $MnO$ - $SiO_2$  三元渣中活度。

在实验过程中得到冶金工业部钢铁研究总院 14 室及 9 室有关同志大力帮助，谨致谢意。

### 参 考 文 献

- 1 魏寿昆, 张圣弼, 佟亭, 谭赞麟. 稀有金属, 1983; 2(1): 10
- 2 张圣弼, 佟亭, 王济舫, 魏寿昆. 金属学报, 1984; 20: A348
- 3 Kawakami M, Goto K S, Matsuoka M. Tras Metall, 1980; 11B: 463
- 4 Janke D, Fischer W A. Arch Eisenhüttenwes, 1975; 46: 755
- 5 Chase M W, Curnutt J L, Prophet H, McDonald R A, Syverud A N. J Phys Chem Ref Data, 1975; 4:1
- 6 Turkdogan E T. Physical Chemistry of High Temperature Technology, New York: Academic Press, 1980: 20
- 7 Alcock C B, Zador S. Electrochim Acta, 1967; 12: 673
- 8 Hultgren R, Desai P D, Hawkins D T, Gleiser M, Kelly K K, Wagman D D. Selected Values of the Thermodynamic Properties of the Elements, Metals Park, Ohio: ASM, 1973: 605
- 9 Sigworth G K, Elliott J F. Met Sci, 1974; 8: 298
- 10 Schmalzried H. Z Phys Chem, Neue Folge, 1963; 38:87

## ELECTROCHEMICAL STUDY OF ACTIVITY OF $\text{Nb}_2\text{O}_5$ AND $\text{MnO}$ IN $\text{Nb}_2\text{O}_5-\text{MnO}-\text{SiO}_2$ SYSTEM

ZHANG Shengbi, WEI Shoukun, WANG Ruiyin, LI Liman  
(University of Science and Technology Beijing)  
(Manuscript received, 17 October, 1988; revised manuscript 5 June, 1989)

**ABSTRACT** Equilibrium between liquid Fe containing Nb with  $\text{Nb}_2\text{O}_5-\text{MnO}-\text{SiO}_2$  slag was investigated at 1828 K, the solid electrolyte oxygen concentration cell being used to measure the activity of oxygen in the metal bath. The activity of  $\text{Nb}_2\text{O}_5$  and  $\text{MnO}$  in the slag was evaluated, accompanied with an iso-activity diagram of  $a_{\text{Nb}_2\text{O}_5}$  and  $a_{\text{MnO}}$  in  $\text{Nb}_2\text{O}_5-\text{MnO}-\text{SiO}_2$  slag.

**KEY WORDS** activity,  $\text{Nb}_2\text{O}_5-\text{MnO}-\text{SiO}_2$  system, slag

---

**Correspondent:** ZHANG Shengbi, Professor, Faculty of Metallurgical Physical Chemistry, University of Science and Technology Beijing, Beijing 100083